



## ژئوشیمی ایزوتوپ‌های Rb-Sr و Sm-Nd، سن‌سنگی زیرکن U-Pb و پتروژنز با تولیت گرانودیوریتی - گرانیتی نجم‌آباد، گناباد

محراب مرادی نقندر<sup>۱\*</sup>، محمدحسن کریم‌پور<sup>۱</sup>، ج لنگ فارمر<sup>۲</sup> و چالرز استرن<sup>۲</sup>

۱- گروه زمین‌شناسی، دانشگاه فردوسی مشهد

2-Department of Geological Sciences, University of Colorado, CB-399, Boulder, CO 80309-399, USA

دریافت مقاله: ۱۳۸۹/۸/۱۸، پذیرش: ۱۱/۱۰/۱۳۸۹

### چکیده

منطقه مورد مطالعه در شرق ایران و جنوب شهر گناباد قرار گرفته است. این منطقه در شمال پهنه برشی گسل داشت بیاض و نواحی جنوبی گسل درونه واقع شده است. حرکات این دو گسل موجب جابه‌جایی و تغییر مکان نسبتاً زیاد این بلوك شده است. با تولیت گرانودیوریتی - گرانیتی نجم‌آباد با روند شرقی - غربی دارای رخنمونی در حدود  $2 \times 8$  کیلومتر است. کانی‌سازی منطقه در ارتباط با توده‌های گرانیتی و مونزونیتی می‌باشد. آلتراسیون در این توده‌ها شامل پروپلیتیک، سرسیتی، آرژیلیک و سیلیسی می‌باشد. با تولیت گرانیت - گرانودیوریت نجم‌آباد به لحاظ شاخص آلومینیوم، از نوع متاآلومینیوم است. نمودار عنکبوتی نرم‌الزیه شده نسبت به بخش تحتانی پوسته قاره‌ای غنی‌شده‌گی عناصر لیتوفیل با شاعع یونی بزرگ (LILE) مانند Rb، Cs، K و عناصر خاکی کمیاب سبک (Ce) و کاهیدگی عناصر Ba, Nb, Ta, Sr, Ti (LREE) ۵ to ۱۱  $\times 10^{-5}$  SI units، گرانیت و گرانودیوریت متعلق به سری ایلمنیت هستند. سن با تولیت براساس روش U-Pb در کانی زیرکن  $87\text{Sr}/86\text{Sr}$  ۱۶۱/۸۵ میلیون سال (ژوراسیک میانی کالووین) تعیین شد. براساس مقادیر ایزوتوپ اولیه  $\delta\text{Nd} = -6.51$ ، نسبت ایزوتوپ  $\text{Nd}^{143}/\text{Nd}^{144}$  ۰.۹۱۳۱ و نسبت ایزوتوپ  $\text{Sr}^{87}/\text{Sr}^{86}$  ۰.۹۵۱۲۰، ماغما گرانیت - گرانودیوریت نجم‌آباد از پوسته قاره‌ای منشأ گرفته است. در محدوده زمانی ژوراسیک میانی (قبل از کالووین) به دلیل تصادم و در نتیجه کوهزایی سنگهای تریاسی - ژوراسیک تحتانی تحت تأثیر دگرگونی ناحیه‌ای واقع شده‌اند. هم‌مان با کوهزایی ژوراسیک میانی ۱۶۲-۱۶۴ میلیون سال قبل، گرانیت‌های احیایی (سری ایلمنیت ذوب پوسته قاره‌ای) در منطقه نجم‌آباد، شاه کوه و سرخ کوه تشکیل و در سنگ‌های دگرگونی ناحیه‌ای این مناطق نفوذ نموده‌اند.

واژه‌های کلیدی: نجم‌آباد، گرانیت، سن‌سنگی زیرکن، تصادم قاره، منشأ ماغما.

مختلفی در مورد شکل‌گیری بلوك لوت وجود دارد. بیشتر آنها وجود یک چرخه کامل کوهزایی شامل ریفتی شدن، تشکیل اقیانوس کوچک بین بلوك لوت و افغان، فرورانش پوسته اقیانوسی، بسته شدن اقیانوس و تصادم لوت و افغان را مطرح کرده‌اند [۲ - ۳]. برخی از تئوریهای دیگر تشکیل بلوك لوت را مربوط به شرایط کششی می‌دانند [۴]. در حال حاضر به دلیل وجود کانی‌سازیهای مختلف از قبیل قلع و تنگستان پورفیری و وجود توده‌های نفوذی نوع S در منطقه می‌توان شرایط دیگری را برای مشخص کردن جایگاه بلوك لوت در نظر گرفت. به طور

### مقدمه

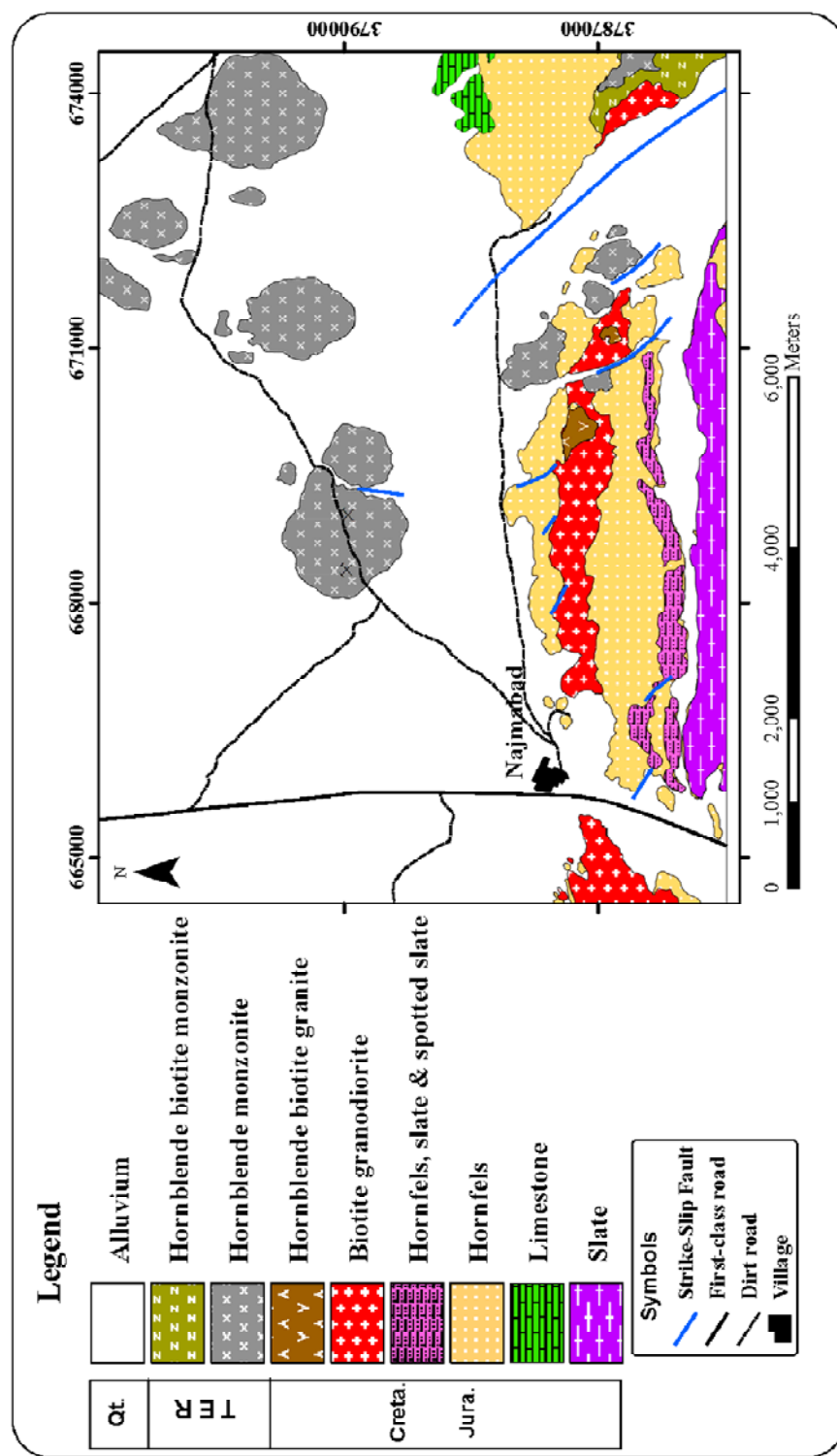
محدوده مورد مطالعه در فاصله ۲۵ کیلومتری جنوب شهر گناباد در منطقه نجم‌آباد قرار دارد. منطقه مطالعاتی بخشی از بلوك لوت است که بلوك لوت خود بخشی از خرد قاره شرق مرکز ایران به شمار می‌آید. ماغماتیسم بلوك لوت از ژوراسیک به بعد با نفوذ توده‌های نفوذی سرخ‌کوه و غیره آغاز شده و در ترشیاری به اوج خود رسیده است، به طوری که ضخامت واحدهای آتش‌شانی ترشیاری در بلوك لوت حدود ۲۰۰۰ تا ۳۰۰۰ متر تخمین زده شده است [۱]. نظریات تکتونیکی

آهک کرتاسه که در معرض دگرگونی ناحیه‌ای درجه پایین قرار گرفته، رخنمون کوچکی در شرق محدوده دارد (شکل ۱). مطالعات پالینولوژی بر روی نمونه‌های برداشت شده از این واحد، سن Liassic تا Rhaetian را برای آن مشخص می‌کند که این فسیل‌ها شامل: sp. Classopollis، sp. Cycadopites، sp. Punctatosporites، sp. Duplexixporites و sp. Alisporites می‌باشند [۷]. توده‌های نفوذی زیادی در این منطقه رخنمون دارد که می‌توان از مهمترین آنها به بیوتیت گرانوودیوریت پورفیری، مونزونیت پورفیری، مونزونیت پورفیری شدیداً سیلیسی شده، هورنبلند مونزونیت پورفیری، کوارتز سینیت، بیوتیت هورنبلند کوارتز مونزونیت پورفیری و بیوتیت گرانیت و بیوتیت مونزونیت پورفیری اشاره کرد (شکل ۱). واحد بیوتیت گرانوودیوریت پورفیری بزرگترین توده نفوذی منطقه است که به صورت باтолیت با روند تقریبی شرقی- غربی در شیل‌ها و ماسه سنگهای دگرگون شده (اسلیت- کوارتزیت) نفوذ کرده است (شکل ۱). این واحد توسط گسل امتداد لغز با سنس حرکت چپ رو در محدوده شرقی قطع شده و آن را از گرانوودیوریت قسمت غربی جدا کرده است (شکل ۱). منطقه مورد مطالعه به شدت گسلیده و چین خورده است. داودزاده و اشمیت [۸] چرخش ۱۳۵ درجه‌ای در جهت خلاف عقربه‌های ساعت را برای بلوك ایران مرکزی قائل شده‌اند. ساختمانهای تکتونیکی اصلی در چنین رژیم تکتونیکی، گسلهای راستالغز عمیق با حرکت خمیده است، که سبب می‌شود بلوكهای مختلف در کنار یکدیگر حرکت کنند [۹]. به همین دلیل خرد قاره ایران مرکزی به بلوكهای کوچکتری تقسیم شده که هر یک از آنها حالت خمیده پیدا کرده و نسبت به یکدیگر از خود حرکت انجام می‌دهند. تشکیل طاقدیس‌ها و گسل‌های امتداد لغز نتیجه حرکت و چرخش بلوك لوت است. در منطقه حداقل دو مجموعه گسل شناسایی شدند [۷]: ۱- گسلهای اصلی موجود در منطقه از نوع راستالغز بوده و بیشتر دارای راستای شمال غرب- جنوب شرق هستند. ۲- گسلهای چپ لغز (قدیمی‌تر) انواع شمال- جنوب و یا شمال شرقی- جنوب غربی می‌باشند. گسلهای امتداد لغز دشت بیاض و کوه هنگام از اصلی‌ترین گسلها در منطقه می‌باشند [۷].

کلی فعالیتهای ماقمایی بلوك لوت از ژوراسیک آغاز شده، در کرتاسه ادامه داشته و در ترشیاری به اوج خود رسیده است. به طوری که سنگهای آتشفسانی ترشیاری، به ویژه ائوسن، با ضخامت حدود ۲۰۰۰ متر، بیش از نیمی از بلوك لوت را می‌پوشاند. ترکیان و همکاران [۵] قدیمی‌ترین توده نفوذی لوت مرکزی را توده گرانیتی- گرانوودیوریتی سرخ کوه به سن اواسط تا اواخر ژوراسیک در جنوب‌غربی بیرجند معرفی نموده‌اند. آقاباتی [۶] دو باтолیت بزرگ گرانیتی شاهکوه و چهارفرسخ به سن ژوراسیک میانی را در بلوك لوت معرفی کرده است. ترکیان و همکاران [۵]، گرانوودیوریت گزو در ۱۵ کیلومتری جنوب دیهوک را که همراه با کانی‌سازی مس است، به اواخر کرتاسه نسبت داده است. ترکیان [۵] همچنین گرانوودیوریت بجستان را معادل گرانوودیوریت گزو در نظر گرفته است. هدف از این تحقیق تعیین دقیق سن توده‌های نفوذی و منشأ، در ارتباط با ذخایر قلع پورفیری است که مطالعات در محدوده رخنمون باтолیت گرانوودیوریتی- گرانیتی نجم‌آباد انجام گرفت.

### زمین‌شناسی

شیل ماسه سنگهای ژوراسیک قدیمترین واحد سنگی در منطقه مطالعاتی است. این عضو شامل تناوبی از اسلیت، به رنگ خاکستری تیره و سنگ ماسه دگرگونه تیره رنگ نازک لایه تا متوسط لایه است. شیل‌های دگرگونه این قسمت به طور عمده، سیلیتی آرژیل دارند که دارای میکا و سرسیت فراوان هستند. ماسه سنگها نیز به طور عمده کوارتز فلدسپاتیک هستند. فیلیت نیز به صورت میان لایه‌هایی نازک تا متوسط لایه همراه این عضو دیده می‌شود. کانیهای تورمالین، زیرکن و آپاتیت به عنوان کانیهای همراه در این عضو یافت می‌شود. این واحدهای سنگی دست کم در دو مقطع زمانی تحت تأثیر دگرگونی قرار گرفته‌اند (شکل ۱). عضو ماسه سنگ شمشک زیر نفوذ توده گرانیتی قرار گرفته که سبب گردیده سنگ ماسه در مجاورت توده تحت تأثیر دگرگونی همبrijی قرار بگیرد. دگرگونی ناحیه‌ای در حد رخساره شیست سبز موجب تشکیل اسلیت و کوارتزیت شده است. در مرحله بعد اسلیت و کوارتزیت تحت تأثیر توده‌های گرانوودیوریتی (دگرگونی همبrijی) و براساس موقعیت نسبت به توده به انواع شیست و اسلیت لکمای دگرگون شده‌اند. سنگ



شکل ۱. نقشه زمین‌شناسی منطقه نجم‌آباد.

#### روش مطالعه

الف) تهیه نقشه‌های زمین‌شناسی، آلتراسیون و کانی‌سازی با مقیاس ۱:۵۰۰۰ در منطقه‌ای به وسعت ۵۰ کیلومتر مربع. ب) مطالعه پتروگرافی بیش از ۱۲۰ نمونه از توده‌های نفوذی منطقه. انتخاب ۱۱ نمونه از باتولیت گرانوڈیوریتی-گرانیتی و تجزیه برای اکسیدهای اصلی با دستگاه XRF فیلیپس (مدل X Unique II) در گروه زمین‌شناسی دانشگاه فردوسی مشهد.

رسم نمودار کنکردیا، رسم نمودارهای تراکمی و محاسبات سنهای میانگین از داده‌های  $^{206}\text{Pb}/^{207}\text{Pb}$  و  $^{206}\text{Pb}/^{238}\text{U}$  توسط ISOPLT/EX انجام می‌گیرد. سنهای میانگین  $^{206}\text{Pb}/^{238}\text{U}$  با حد اطمینان ۹۵/۹ تا ۹۶/۹ درصد در این روش محاسبه می‌شود. آنالیز ایزوتوپ‌های Sr و Nd با دستگاه 6-collector Finnigan MAT 261 Thermal Ionization Mass Spectrometer در دانشگاه بولدر کلرادو (امریکا) انجام شد. نسبت  $^{87}\text{Sr}/^{86}\text{Sr}$  با استفاده از اندازه‌گیری چهار حالت کلکتور استاتیک به دست آمد. بر طبق ۳۰ اندازه‌گیری مختلف  $^{87}\text{Sr}$  در طول مدت مطالعه نسبت  $^{87}\text{Sr}/^{86}\text{Sr}$  SRM-987 بین ۲  $\pm 0.71032$  تعیین شد (با محاسبه خطای میانگین ۲ سیگما). نسبت اندازه‌گیری شده  $^{87}\text{Sr}/^{86}\text{Sr}$  بوسیله  $^{143}\text{Nd}/^{144}\text{Nd}$  SRM-987 تصحیح گردید. نسبت  $^{143}\text{Nd}/^{144}\text{Nd} = 0.71028$  اندازه‌گیری شده با  $^{146}\text{Nd}/^{144}\text{Nd} = 0.7219$  نرمال‌بیز شد. اندازه‌گیری‌ها به صورت تکراری نیز انجام گرفت. در طول مطالعات ۳۳ آنالیز با استاندارد La Jolla Nd میانگین  $8 \pm 0.511838$  به دست آمد (بر مبنای محاسبه خطای ۲ سیگما).

### پتروگرافی

باتولیت نجم‌آباد با روند شرقی- غربی با طول تقریبی ۸ کیلومتر و عرض ۱/۵ کیلومتر (مساحت رخنمون ۱۲ کیلومتر بر روی سطح زمین)، دارای ترکیب گرانیتی تا گرانودیوریتی است (شکل ۱). بیوپتیت گرانودیوریت بزرگترین توده نفوذی منطقه است (۵ کیلومترمربع) که به صورت باتولیت با روند شرقی- غربی در اسلیت‌ها ژواراسیک نفوذ نموده و به دگرگونی همی‌ری در آنها منجر شده است (شکل ۱). این واحد دارای بافت سری‌آیت با زمینه دانه درشت است. درصد درشت بلورها حدود ۳۵ درصد است. کانیهای درشت بلور شامل ۷ تا ۱۰ درصد پلازیوکلаз تا اندازه ۲/۵ میلیمتر، ۱۰ تا ۱۵ درصد فلدسپات پتاسیم تا اندازه ۱/۲ میلیمتر و ۱۰ تا ۱۵ درصد کوارتز در زمینه تا ۲ میلیمتر می‌باشد. کانیهای قابل رویت در زمینه سنگ نیز شامل کوارتز، پلازیوکلاز، پتاسیم فلدسپات و بیوپتیت است. کانیهای اپک شکل دار تا اندازه ۰/۴ میلیمتر بوده و مقدار آنها تا ۰/۲ درصد می‌رسد. بیوپتیت گرانیت فقط در قسمتهای شرق روستای نجم‌آباد رخنمون دارد و وسعت آن در این منطقه به حدود ۰/۵ کیلومترمربع می‌رسد (شکل ۱). بیوپتیت گرانیت

پ) تجزیه نمونه برای عناصر جزئی و نادر خاکی (REE) در آزمایشگاه ACME (کانادا) به روش ذوب قلیانی با دستگاه ICP-MS

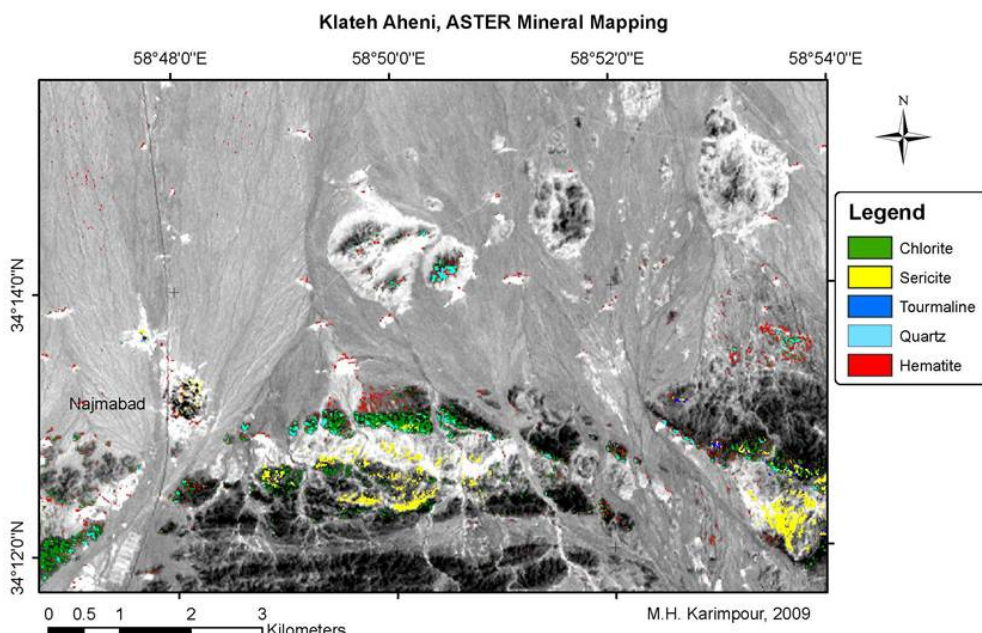
زیرکن‌های جدا شده برای تعیین سن به مرکز Laser Chron آریزونا در دانشگاه آریزونای امریکا فرستاده شدند. در آن جا از روش Laser-Ablation multi collector ICP-MS تعیین سن سنجی استفاده می‌شود. زیرکن‌ها ابتدا در یک پلاک اپاکسی به قطر ۱ اینچ همراه با خردکهای از زیرکن استاندارد NIST SPM610 ID-TIMS و شیشه‌های قالب‌گیری شده، سپس این پلاکها نصف شده و صیقل می‌خورند. عکس زیرکن‌ها در نور عبوری، انعکاسی و نیز در زیر میکروسکپ کاتدولومینسانس (CL) گرفته می‌شود. تصویر CL ساختار داخلی دانه‌های زیرکن برش خورده را نشان می‌دهد و با استفاده از آن مکانهای مناسب برای اشعه لیزر در قسمتهای هموزن بلور انتخاب می‌گرددند. روش Laser-Ablation ICP-MS قادر است تا سن سنجی به روش اندازه‌گیری U-Pb را با صحت بهتر از ٪۲ (سیگما) و تفکیک مکانی چند میکرون انجام دهد. این روش عموماً با یک اشعه به قطر ۳۵ یا ۲۵ میکرون و اگر لازم باشد در دانه‌های ریزتر به قطر ۱۵ یا ۱۰ میکرون، صورت می‌پذیرد. اشعه ۳۵ یا ۲۵ میکرونی با بسامد ۸ هرتز و انرژی ۱۰ cps میکروزول تنظیم می‌شود که می‌تواند یک سیگنال تقریباً ۱۰۰۰۰۰ در گرم در تن برای U در زیرکن تولید کند. برای اندازه‌های کوچکتر اشعه لیزر، انرژی (۶۰ میکروزول) و نرخ تکرار (۴ هرتز) کاهش می‌باید. در هر دو حالت ذکر شده مواد برانگیخته شده توسط اشعه لیزر از یک اتاقک گاز هلیم عبور می‌کنند. گاز هلیم و نمونه برانگیخته شده قبل از ورود به محیط پلاسما ICP-MS با گاز آرگون مخلوط می‌شوند. مقدار Pb ایزوتوپی نسبت به Th و U به کمک نمونه استانداردی که همراه با زیرکن‌ها قالب‌گیری شده و هر بار با اندازه‌گیری سه تا پنج نمونه مجھول، اندازه‌گیری آن تکرار می‌شود، محاسبه می‌گردد. نمونه استاندارد زیرکن ID-TIMS نمونه‌ای زیرکن از سری لانکا با سن  $563/5 \pm 3/2$  Ma می‌باشد. همچنین NIST مقدار Th و U نمونه‌های مجھول با شیشه‌های SRM610 مورد سنجش قرار می‌گیرد. مقدار U این شیشه‌ها ۴۶۲ گرم در تن و مقدار Th آن ۴۵۷ گرم در تن می‌باشد. قطعیت آنالیزهای انجام شده حدود ۲ سیگما (تقریباً ۱ درصد) برای U  $^{206}\text{Pb}/^{207}\text{Pb}$  و  $^{206}\text{Pb}/^{238}\text{Pb}$  است. پس از اتمام کار،

پردازش از تجربیات و روشهای روان [۱۰]، یاماگوچی [۱۱]، روان و مارس [۱۲] و هوبارد [۱۳] استفاده شد. زون‌های آلتراسیون مهم که در محدوده بیوتیت گرانودیوریت شناسایی شدند عبارتند از: زون سرسیتیک، زون پروپلیتیک، زون سیلیسی، زون آرزیلیک و زون تورمالین. زون سرسیتیک نسبتاً گسترده است و موجب آتره شدن گرانودیوریت و سنگهای مجاور شده است (شکل ۲). زون پروپلیتیک عمدتاً با حضور کانی کلریت و خیلی محدود اپیدوت همراه است (شکل ۲). علت این موضوع شرایط احیایی محلول ماغمایی بوده است. بیوتیت گرانودیوریت و سنگهای مجاور تحت تأثیر این آلتراسیون قرار گرفته‌اند (شکل ۲). توده‌های مونزونیتی خیلی جزئی کلریتی شده‌اند. زون سیلیسی عمدتاً در مرز شمالی بیوتیت گرانودیوریت تشکیل شده است (شکل ۲). زون تورمالین فقط در بیوتیت گرانودیوریت و سنگهای مجاور تشکیل شده است (شکل ۲). تورمالین به صورت پراکنده در متن سنگ، رگه‌ای و به همراه رگه‌های کوارتز مشاهده شد. زون آرزیلیک در توده بیوتیت گرانودیوریت و در بخش شرقی آن مشاهده می‌شود. کانی‌سازی به صورت اکسیدهای آهن ثانویه (سولفیدهای اکسیده شده) در متن سنگ و در رگه‌ها در اطراف بیوتیت گرانودیوریت متتمرکز است (شکل ۲).

دارای بافت گرانولار دانه درشت است. کانیهای اولیه سنگ شامل پلازیوکلаз تا اندازه  $0.8 \text{ میلیمتر}$ ،  $10 \text{ تا } 12 \text{ درصد}$  پتاسیم تا  $1/5 \text{ میلیمتر}$  می‌باشد. کانی بیوتیت نیز در این سنگ تا اندازه  $0.8 \text{ میلیمتر}$  می‌رسد و مقدار آن  $5 \text{ تا } 6 \text{ درصد}$  است. کانی‌های اپک بی شکل تا اندازه  $1 \text{ میلیمتر}$  بوده و مقدار آنها  $0.2 \text{ درصد}$  می‌رسد. هورنبلند- بیوتیت گرانیت در شرقی ترین قسمت محدوده مورد مطالعه رخمنون دارد. وسعت برون‌زد این واحد بر روی زمین  $0.2 \text{ کیلومترمربع}$  است. این واحد بافت گرانولار یا دانه درشت دارد. کانیهای اصلی و اولیه موجود در این واحد شامل کوارتز، فلدسپات، پلازیوکلاز، بیوتیت و هورنبلند است. کانیهای اولیه سنگ شامل  $12 \text{ تا } 13 \text{ درصد}$  پلازیوکلاز تا اندازه  $1/8 \text{ میلیمتر}$ ،  $37 \text{ تا } 40 \text{ درصد}$  فلدسپات پتاسیم تا اندازه  $3 \text{ میلیمتر}$  و  $30 \text{ تا } 32 \text{ درصد}$  کوارتز تا  $3/5 \text{ میلیمتر}$  می‌باشد. کانی بیوتیت نیز در این سنگ تا اندازه  $0.5 \text{ تا } 0.6 \text{ میلیمتر}$  می‌رسد و مقدار آن  $5 \text{ تا } 6 \text{ درصد}$  است و کانی هورنبلند دارای فراوانی  $0.1 \text{ تا } 0.5 \text{ میلیمتر}$  است. کانیهای اپک بی شکل تا اندازه  $0.1 \text{ میلیمتر}$  بوده و مقدار آنها  $0.2 \text{ درصد}$  می‌رسد.

#### آلتراسیون و کانی‌سازی

داده‌های ماهواره استر به منظور شناسایی کانیهای معرف زونهای آلتراسیون پردازش شدند (شکل ۲). در خصوص روش



شکل ۲. نقشه کانیهای آلتراسیون با استفاده از پردازش داده‌های ماهواره.

## ژئوشیمی

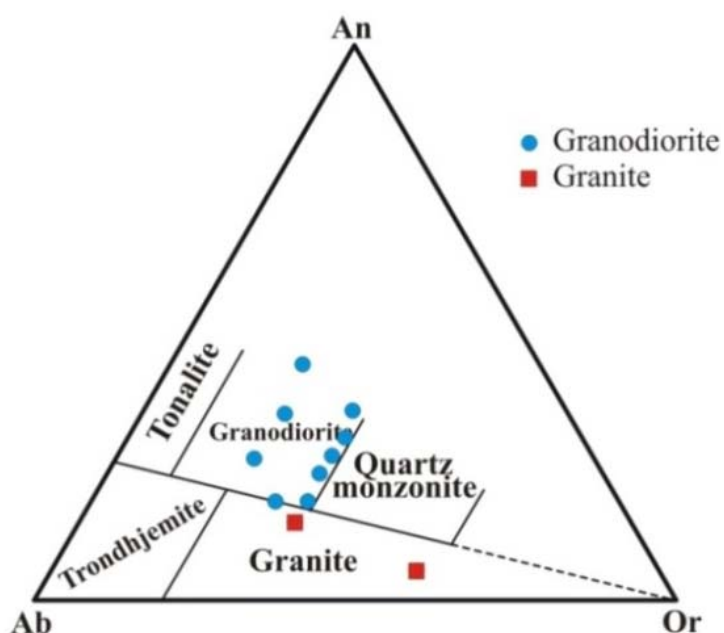
## عناصر اصلی (Major Elements)

ناحیه کالک آلکالن با پاتاسیم بالا و توده گرانیتی در سری کالک آلکالن قرار می‌گیرند (شکل ۶).

## عناصر فرعی و نادر خاکی

نتایج تجزیه عناصر فرعی و خاکی کمیاب سبک و سنگین در جدول (۲) ارائه شده است. عناصر LILE شامل Ba, Sr, Rb و Rb/Sr بین ۰/۱۱ تا ۰/۱۹ متغیر است. مقدار Ba در توده‌های گرانیتی و گرانودیوریتی بین ۹۵۳ تا ۱۱۵ گرم در تن می‌باشد که این نشان‌دهنده ذوب پاتاسیم فلدسپار موجود در منشأ به وجود آورنده توده‌های گرانیتی و گرانودیوریتی منطقه نجم‌آباد است. با استفاده از نسبت ۱۰۰۰Ga/Al به Y نشان می‌دهد که توده‌های نفوذی منطقه مورد مطالعه مربوط به سری‌های I و S هستند (شکل ۷).

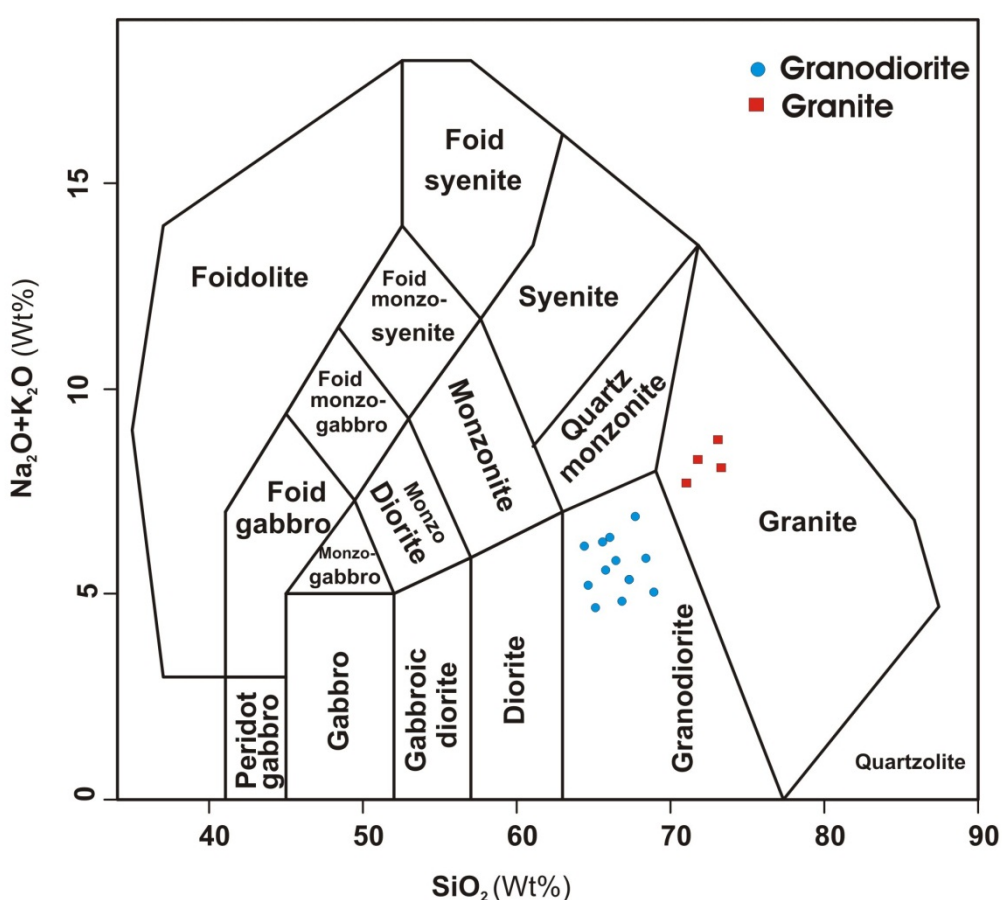
نتایج تجزیه شیمیایی عناصر اصلی توده‌های نفوذی گرانیتی- گرانودیوریتی منطقه نجم‌آباد در جدول (۱) آمده است. مقدار  $\text{SiO}_2$  توده‌ها از ۶۳/۵۲ تا ۷۳/۹۸ درصد متغیر است. نمودار مثلثی Ab-Or-An نشان می‌دهد که نمونه‌ها در محدوده گرانیت و گرانودیوریت قرار می‌گیرند (شکل ۳). بر طبق رده‌بندی میدلموست [۱۴] در نمودار سنگهای پلوتونیک  $\text{SiO}_2$  در مقابل  $\text{Na}_2\text{O}+\text{K}_2\text{O}$  توده‌ها در محدوده گرانیت و گرانودیوریت قرار می‌گیرند (شکل ۴). مقدار  $\text{A/CNK} < 1$  و  $\text{A/NK} > 1$  برای توده‌های نفوذی گرانیتی و گرانودیوریتی منطقه نجم‌آباد نشان می‌دهد که غالب این توده‌های کالک‌آلکالن از نوع متا‌آلومینوس هستند (شکل ۵). از نکات مورد توجه، مقدار  $\text{K}_2\text{O}$  و نسبت  $\text{K}_2\text{O}/\text{Na}_2\text{O}$  بالاست. میزان  $\text{K}_2\text{O}$  از ۱/۹۸ تا ۶/۲۵ درصد متغیر است (جدول ۱). نمودار  $\text{K}_2\text{O}$  در مقابل  $\text{SiO}_2$  نشان می‌دهد که توده گرانودیوریتی در



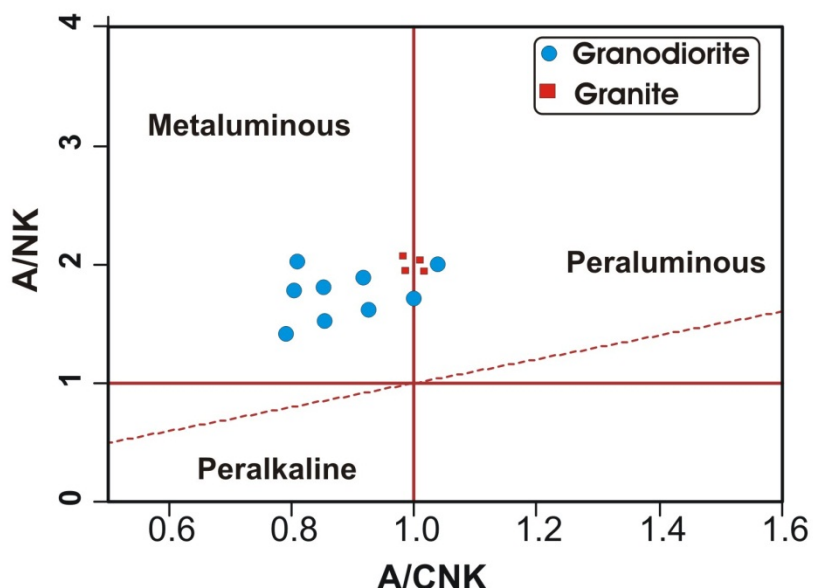
شکل ۳. مثلث An-Ab-Or نشان می‌دهد که توده‌ها در دو قسمت گرانیت و گرانودیوریت قرار می‌گیرند.

جدول ۱. میزان اکسیدهای اصلی (%) و عناصر فرعی (ppm) و کانیهای محاسبه نورم (CIPW) با تولیت نجم‌آباد.

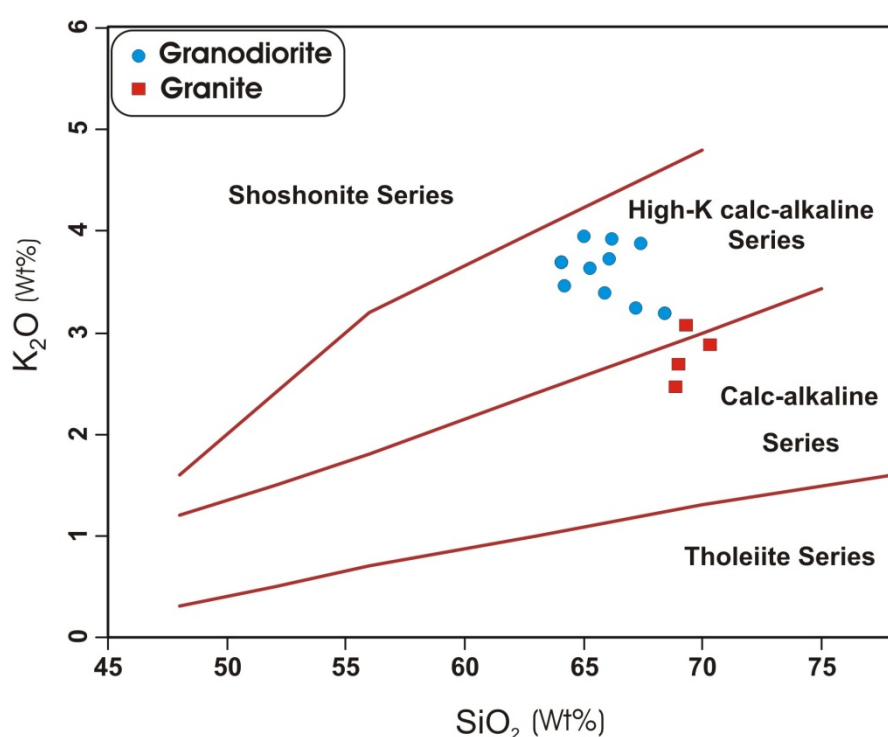
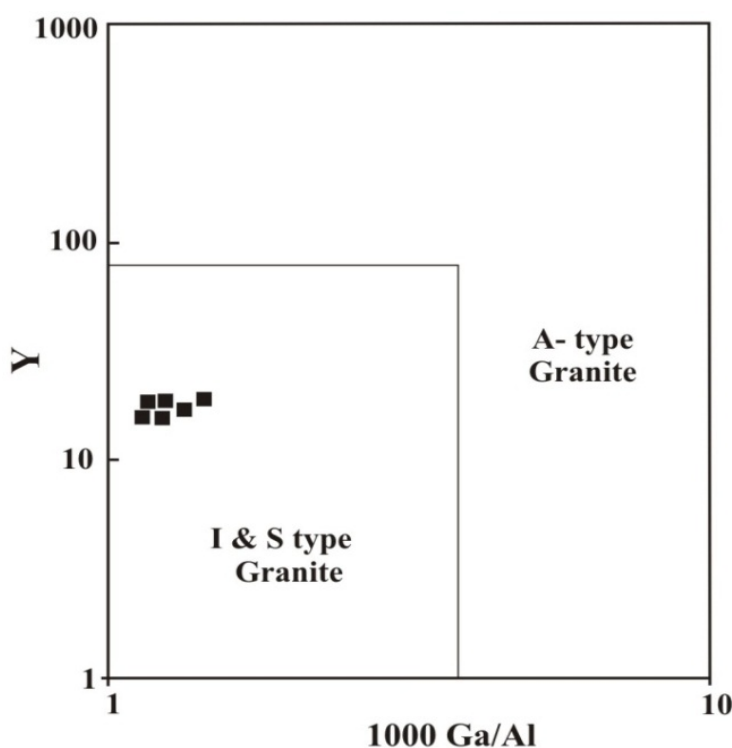
	KAP-6	KAP-1	KAP-29	KC-118	KC-119	KC-127	KC-114	KC-126	KAP-2	KAP-9	KAP-27
X	674216	673751	672050	682893	681546	673921	680127	681527	673785	674236	671695
Y	3786841	3787007	3786666	3782659	3784247	3787093	3787187	3784253	3787059	3786573	3786913
<i>Oxides %</i>											
SiO <sub>2</sub>	62/03	64/22	63/52	62/25	62/42	63/82	65/68	64/37	73/98	62/6	55/84
TiO <sub>2</sub>	-/09	-/08	-/06	-/01	-/0	-/02	-/02	-/08	-/07	-/08	-/04
Al <sub>2</sub> O <sub>3</sub>	12/22	12/81	15/9	12/35	14/0	12/88	12/29	12/4	12/49	12/81	8/15
FeO	4/03	3/8	4/0	6/3	4/81	6/4	4/7	4/74	-/02	2/63	2/27
Fe <sub>2</sub> O <sub>3</sub>	2/09	2/08	2/06	2/11	2/1	1/12	1/82	2/08	1/02	2/08	1/09
MnO	-/09	-/09	-/05	-/11	-/1	-/1	-/03	-/1	-/02	-/1	-/02
MgO	3/08	2/27	2/97	2/25	2/27	3/85	2/38	2/16	-/03	2/3	1/65
CaO	4/28	5/45	2/95	2/36	2/28	3/73	2/1	2/53	1/45	4/93	21/35
Na <sub>2</sub> O	2/01	2/05	2/47	2/92	2/88	2/79	2/44	2/91	2/02	2/84	1/89
K <sub>2</sub> O	2/-8	2/99	2/29	2/65	2/38	1/98	2/51	2/31	6/25	2/29	2/04
P <sub>2</sub> O <sub>5</sub>	-/16	-/16	-/14	-/16	-/16	-/16	-/1	-/13	-/05	-/14	-/25
H <sub>2</sub> O <sup>(+)</sup>	1	1/01	-/91	1/05	1	1/02	-/94	-/99	-/86	1/05	1/25
Total	98/26	98/61	98/07	99/12	99/06	99/48	98/31	98/94	99/97	98/35	98/79
<i>Trace (ppm)</i>											
Rb	1/01	121/4	115/1	177	146	100/2	121	101	145/4	98/7	28/8
Sr	20/38	108/9	225	20·2	18F	243/8	301	181	66/3	263/5	248/4
Ba	484	262	225	3	2	491	953	184	2·7	259	115
Nb	9/5	1/11	1/14	12	11	11/1	4/5	11/3	2/4	9/6	9
Zr	128/9	122/1	14/18	122	165	153/8	89/7	145	48/8	151/8	2·7/9
Co	10/7	15	12/5	17/3	14/3	10/8	4/7	14/7	-/8	11/8	1/14
Hf	2/9	2/4	4	2/6	4/8	4/3	2/9	4/1	2/3	4/6	5/4
Ta	-/7	-/6	-/8	1	-/9	-/7	-/4	-/8	-/7	-/8	-/5
Cs	8/4	8/9	8/4	18/9	12	5/6	8/2	13	2/4	7/1	1/8
Rb/Sr	-/49	-/77	-/48	-/78	-/79	-/41	-/34	-/83	2/19	-/37	-/11
Rb/Ba	-/2	-/46	-/35	-/59	-/73	-/2	-/12	-/53	-/7	-/38	-/25
<i>Norm (CIPW)</i>											
Q	22/36	25/68	23/97	16/26	19/42	22/19	21/44	20/88	30/23	17/54	19/72
C	-/28	-/00	2/44	-/00	-/07	-/75	-/25	-/00	-/00	-/00	-/00
Or	18/2-	17/67	19/44	21/57	19/98	11/7-	20/74	19/06	26/94	13/53	2/78
Ab	17/-1	17/25	20/9-	24/21	24/37	22/61	29/11	24/62	24/29	32/49	4/99
An	20/19	19/65	13/72	12/54	15/23	17/46	9/77	12/74	2/74	16/41	18/2-
Di	-/00	5/21	-/00	2/06	-/00	-/00	-/00	3/22	1/83	5/84	17/-1
Wo	-/00	-/00	-/00	-/00	-/00	-/00	-/00	-/00	1/82	-/00	27/38
Hy	14/7-	7/56	12/32	15/84	14/44	19/58	12/58	12/0-	-/00	7/04	-/00
Mt	3/-3	2/-2	2/99	2/-6	2/-5	1/62	2/64	2/-2	-/89	2/-2	2/76
Il	1/12	1/1-	1/-6	1/16	1/14	1/18	-/01	1/10	-/13	1/10	-/06
Hm	-/00	-/00	-/00	-/00	-/00	-/00	-/00	-/00	-/05	-/00	-/00
Ap	-/38	-/38	-/33	-/38	-/38	-/38	-/24	-/31	-/12	-/33	-/09
Sum	97/27	97/61	97/17	98/-0	98/07	98/47	97/38	97/96	99/93	97/31	94/19



شکل ۴. رده‌بندی میدلموست [۱۴] برای توده‌های نفوذی منطقه.



شکل ۵. نمودار شاند به منظور تعیین اندیس آلومینیوم [۱۵].

شکل ۶. نسبت  $\text{K}_2\text{O}$  به  $\text{SiO}_2$  برای توده‌های نفوذی منطقه [۱۶].

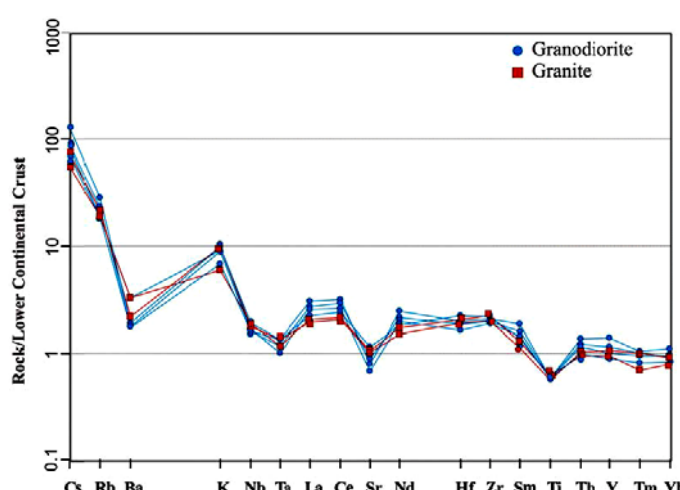
شکل ۷. قرار گرفتن توده‌های نفوذی مورد مطالعه در محدوده گرانیت‌های نوع I و S.

جدول ۲. نتایج تجزیه عناصر فرعی و نادرخاکی سبک و سنگین و نسبت برخی از عناصر کمیاب.

<i>REEs (ppm)</i>	<i>KAP (6)</i>	<i>KAP (1)</i>	<i>KAP (29)</i>	<i>KC (118)</i>	<i>KC (119)</i>	<i>KC (127)</i>	<i>KC (114)</i>	<i>KC (126)</i>	<i>KAP (2)</i>	<i>KAP (9)</i>	<i>KAP (27)</i>	
LREEs	La	۲۹/۵	۲۷/۹	۲۱/۱	۲۹	۲۹/۷	۲۲/۶	۷/۴	۲۲/۳	۵/۴	۲۴/۴	۲۲/۱
	Y	۲۱/۹	۱۹	۲۰/۲	۲۷	۲۵/۲	۱۷/۸	۴/۶	۲۶/۲	۲۰/۲	۱۶/۸	۱۶/۹
	Ce	۶۶/۵	۵۹/۶	۴۷/۲	۶۲/۴	۶۴/۹	۴۹/۱	۱۴/۲	۷۲	۱۲/۱	۵۴/۵	۴۹/۴
	Pr	۷/۲۳	۶/۷۹	۴/۹۹	۷/۰۷	۷/۳	۵/۰۵	۱/۰۵	۸/۰۲	۱/۳۹	۶/۰۹	۵/۲۷
	Nd	۲۶/۸	۲۵	۱۹/۱	۲۶/۶	۲۷/۳	۲۱/۹	۶/۴	۳۱/۱	۴/۶	۲۲/۲	۲۰/۲
	Sm	۴/۹۹	۴/۰۷	۲/۰۲	۵/۱۳	۵/۰۳۹	۴/۰۷	۱/۱۲۲	۵/۰۸۳	۱/۱۴۳	۴/۴۲	۲/۰۷
	Eu	۱/۰۶	۰/۹۲	۰/۰۹۳	۰/۰۹۸	۰/۰۹۶	۰/۰۹۲	۰/۰۲۷	۰/۰۹۸	۰/۰۲۱	۰/۰۹۱	۰/۰۹۳
HREEs	Gd	۴/۰۴	۳/۰۹	۳/۰۳۹	۴/۰۸۵	۴/۰۸۱	۳/۰۴۳	۱/۱۷	۴/۰۹۳	۱/۰۸۵	۳/۰۷۵	۳/۰۱
	Tb	۰/۰۷۱	۰/۰۶۷	۰/۰۶۰	۰/۰۷۷	۰/۰۷۹	۰/۰۵۶	۰/۰۱۸	۰/۰۸	۰/۰۴۱	۰/۰۵۸	۰/۰۵۱
	Dy	۲/۰۸۱	۲/۰۲۷	۲/۰۲۶	۴/۰۵۶	۴/۰۵۱	۲/۰۲۳	۰/۰۹۴	۴/۰۵۸	۲/۰۸۲	۲/۰۹	۲/۰۸۷
	Ho	۰/۰۷۲	۰/۰۶۵	۰/۰۷۰	۰/۰۸۹	۰/۰۸۴	۰/۰۶۲	۰/۰۱۷	۰/۰۸۷	۰/۰۶۳	۰/۰۶۰	۰/۰۵۸
	Er	۲/۰۱۵	۲/۰۰۳	۲	۲/۰۶۶	۲/۰۵۲	۱/۰۸۲	۰/۰۴۹	۲/۰۵۶	۲/۰۰۴	۱/۰۷۲	۱/۰۶۸
	Tm	۰/۰۲۲	۰/۰۲۰	۰/۰۲۲	۰/۰۲۳	۰/۰۲۲	۰/۰۲۲	۰/۰۰۷	۰/۰۳۲	۰/۰۲۶	۰/۰۲۶	۰/۰۲۶
	Yb	۲/۰۰۲	۲/۰۰۶	۱/۰۹۸	۲/۰۶۱	۲/۰۴۴	۱/۰۷۲	۰/۰۴۲	۲/۰۴۴	۲/۰۴۷	۱/۰۷۹	۱/۰۷۳
	Lu	۰/۰۳۱	۰/۰۲۱	۰/۰۲۲	۰/۰۳۹	۰/۰۳۶	۰/۰۲۵	۰/۰۰۷	۰/۰۳۶	۰/۰۳۵	۰/۰۲۶	۰/۰۲۶
Ratio	Eu/Eu*	۰/۰۸۸۵	۰/۰۶۶۲	۰/۰۸۲۸	۰/۰۶۱۷	۰/۰۵۸	۰/۰۷۵۷	۰/۰۶۶۵	۰/۰۵۶۲	۰/۰۵۸۶	۰/۰۶۸۷	۰/۰۸۶
	(La/Yb)N	۹/۰۷۲۶	۹/۰۰۲۹	۷/۰۱۰۴	۷/۰۴۰۷	۸/۱۱۱۵	۸/۰۷۰۹	۱۱/۰۷۴۶	۹/۰۹۸	۱/۰۴۵۷	۹/۰۰۸۸	۸/۰۵۱۶
	(La/Sm)N	۳/۰۶۳۷	۳/۰۷۵۶	۳/۰۶۸۷	۳/۰۴۷۷	۳/۰۲۹	۳/۰۴۱۶	۳/۰۴۲۳	۳/۰۵۱۴	۲/۰۳۲۲	۳/۰۳۹۶	۲/۰۷۰۴
	(Eu/Yb)N	۱/۰۴۹۹	۱/۰۲۷۶	۱/۰۳۴۲	۱/۰۷۲	۱/۰۱۲۴	۱/۰۵۱۹	۱/۰۸۳۷	۱/۰۱۴۸	۰/۰۳۵۹	۱/۰۴۵۳	۱/۰۵۲۶

(Ce/La) (LREE) و عناصر خاکی کمیاب سبک (Cs, Rb, K, Ba, Nb, Ta, Sr, Ti) مشاهده می‌شود (شکل ۸). کاهیدگی عناصر به خوبی دیده می‌شود (شکل ۸).

نمودار عنکبوتی برخی عناصر اصلی، فرعی و خاکی کمیاب نرمالیزه شده نسبت به بخش تحتانی پوسته قاره‌ای (Lower Continental Crust) در شکل (۸) ترسیم شده است. غنی‌شدگی عناصر لیتوفیل با شعاع یونی بزرگ (LILE) مانند



شکل ۸. نمودار عناصر فرعی و برخی عناصر خاکی کمیاب توده‌های نفوذی گرانیتی و گرانودیوریتی که نسبت به پوسته قاره‌ای تحتانی نرمالیزه شده است (مقادیر گوشته اولیه از سان و مکدوناف) [۱۷].

$100 \times 10^{-5}$  و سری ایلمینیت کمتر از  $50 \times 10^{-5}$  است. میزان پذیرفتاری مغناطیسی گرانودیوریت و گرانیت‌ها در جدول (۳) گزارش شده است. بر اساس ترکیب کانی‌شناختی و پذیرفتاری مغناطیسی کم [SI]  $(5 \times 10^5$  to  $11 \times 10^5$ ]<sup>۵</sup>، بیوتویت گرانودیوریت و گرانیت مربوط به سری ایلمینیت (نوع احیایی) و از گرانیت‌های نوع S است (شکل ۱۰).

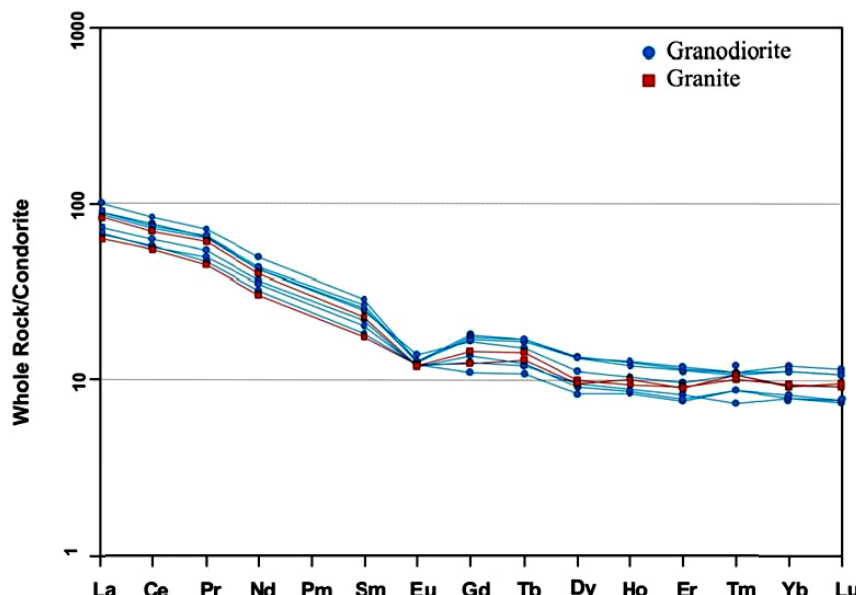
#### سن سنگی زیرکن (U-Th-Pb Zircon age dating)

از نمونه‌های برداشت شده از باтолیت گرانودیوریتی نجم آباد، بعد از مطالعات دقیق پتروگرافی و پترولوجیکی یک نمونه برای سن سنگی انتخاب شد. ۷۰ دانه زیرکن در اندازه مناسب با روش خاص از پودر گرانودیوریت در دانشگاه فردوسی مشهد جدا شدند. این تعداد زیرکن برای سن سنگی به روش U-Pb و مطالعات ایزوتوپی به دانشگاه آریزونا (امریکا) فرستاده شدند. نتایج آنالیز U-Th-Pb برای زیرکن در جدول (۴) آمده است. نتایج محاسبه و تعیین سن ایزوتوبی در نمودار شکل (۱۱) نشان داده شده است. بر پایه ۲۴ نقطه آنالیز روی دانه‌های زیرکن سن توده نفوذی گرانیتی برابر با  $161/85 \pm 1/5$  میلیون سال می‌باشد. باтолیت نجم آباد در ژوراسیک میانی (کالووین) در مجموعه اسلیت و کوارتزیت ژوراسیک نفوذ نموده است.

نمودار عنکبوتی مقدار عناصر خاکی کمیاب نرمالیزه شده با مقادیر REE کندریت را نشان می‌دهد (شکل ۹). همان طور که مشخص است غنی‌شدنی در عناصر خاکی کمیاب سبک (LREE) نسبت به الکوی عناصر خاکی کمیاب متوسط (MREE) و سنگین (HREE) در کلیه نمونه‌ها دیده می‌شود. عنصر Eu نیز نسبتاً ناهنجاری منفی کمی ( $Eu/Eu^* = 0.56$  to  $0.86$ ) در توده‌های گرانیتی و گرانودیوریتی نشان می‌دهد. تیلور Eu/Eu\* [۱۶] بیان داشتند که هر گاه مقدار نسبت Eu/Eu\* بیش از ۱ باشد، ناهنجاری مثبت و هرگاه کمتر از ۱ باشد، ناهنجاری منفی است. ناهنجاری منفی Eu به علت حضور کانی پلازیوکلаз به عنوان کانی باقیمانده در منشأ ماقماست. میزان Sr پایین نمونه‌هایی که Eu پایین‌تری دارند این موضوع را اثبات می‌کند. نسبت عناصر کمیاب نرمالایز شده در توده‌های گرانیتی و گرانودیوریتی منطقه در جدول (۲) نشان داده شده است.

#### پذیرفتاری مغناطیسی

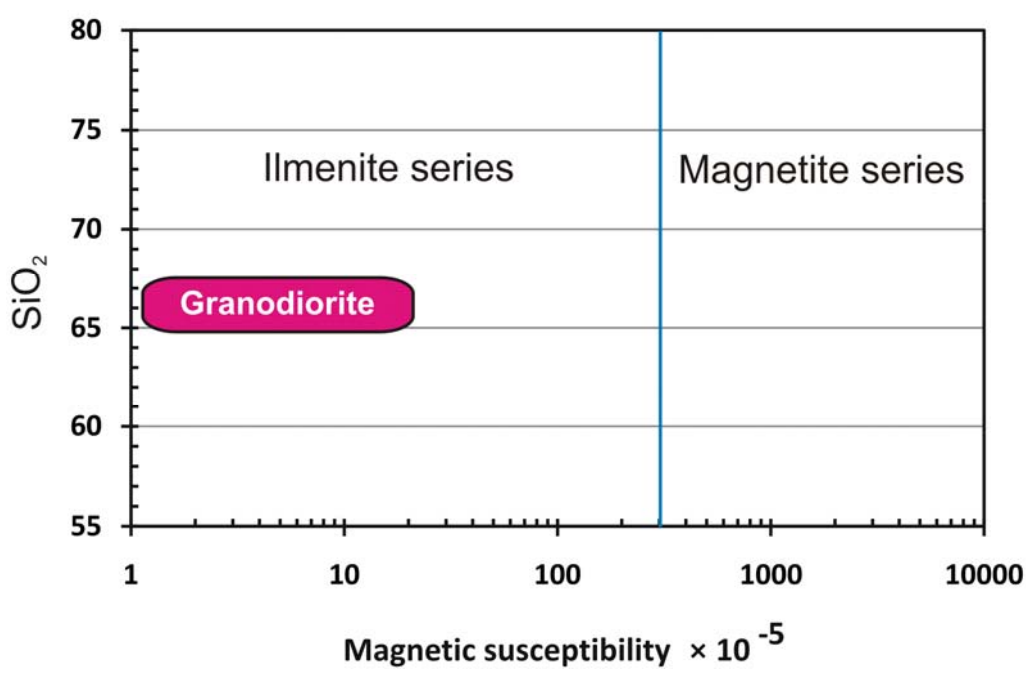
ایشی‌هارا [۱۹] گرانیت‌ها را به دو سری مگنتیت و ایلمینیت تقسیم کرد. سری مگنتیت با گرانیت‌های تیپ I و سری ایلمینیت غالباً با گرانیت‌های تیپ S همپوشانی دارد. عدد پذیرفتاری مغناطیسی گرانیت‌های سری مگنتیت بیشتر از



شکل ۹. نمودار عنکبوتی عناصر REE توده‌های گرانیتی و گرانودیوریتی منطقه مورد مطالعه. به کندریت نرمالیزه شده است (مقادیر REE کندریت از بوینتن [۱۸]).

جدول ۳. پذیرفتاری گرانودیوریت و گرانیت‌های باتولیت نجم‌آباد.

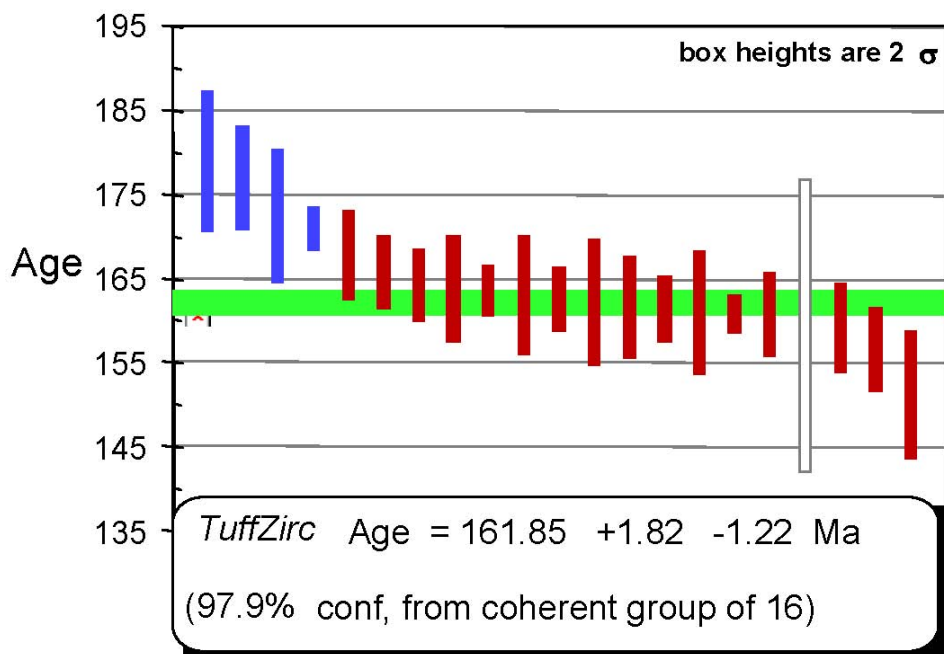
Sample No	X	Y	Susceptibility ( $\times 10^{-5}$ SI)	Lithology
KAP-6	۶۷۴۲۱۶	۳۷۸۶۸۴۱	۱۰	Granodiorite
KAP-1	۶۷۳۷۵۱	۳۷۸۷۷۰۷	۵	Granite
KAP-29	۶۷۲۰۵۰	۳۷۸۶۶۶۶	۱	Granite
KC-118	۶۸۲۸۹۳	۳۷۸۲۶۵۹	۱	Granodiorite
KC-119	۶۸۱۵۴۶	۳۷۸۴۲۴۷	۱۱	Granodiorite
KC-127	۶۷۳۹۲۱	۳۷۸۷۰۹۳	۱	Granodiorite
KC-114	۶۸۰۱۲۷	۳۷۸۷۱۸۷	۱	Granodiorite
KC-126	۶۸۱۵۲۷	۳۷۸۴۴۲۵۳	۴	Granodiorite
KAP-2	۶۷۳۷۸۵	۳۷۸۷۰۵۹	۱	Granodiorite
KAP-9	۶۷۴۲۳۶	۳۷۸۶۵۷۳	۸	Granodiorite
KAP-27	۶۷۱۶۹۵	۳۷۸۶۹۱۳	۵	Granodiorite



شکل ۱۰. نمودار تفکیک گرانیت‌های سری مگنتیت از ایلمینیت.

جدول ۴. نتایج حاصل از سن سنجی زیرکن به وسیله دستگاه (Laser-Ablation Multicollector) برای توده گرانودیوریتی.

Sample	U (ppm)	$^{206}\text{Pb}/^{204}\text{Pb}$	U/Th	$^{206}\text{Pb}^*/^{207}\text{Pb}^*$	± (%)	$^{207}\text{Pb}^*/^{235}\text{U}^*$	± (%)	$^{206}\text{Pb}^*/^{238}\text{U}$	± (%)	Best Age (Ma)	±
KI-7-1C	۳۴۸	۸۸۰.۴	۲/۱	۲۱/۴۴۶۲	۹	۰/۱۶۵۵	۹/۱	۰/۰۲۵۷	۱/۵	۱۶۳/۹	۲/۴
KI-7-3C	۵۶۶	۱۹۷۱۴	۳/۲	۱۹/۸۸۲۷	۲/۵	۰/۲۲۳۶	۳/۵	۰/۰۳۳۷	۲/۴	۲۱۳/۶	۵/۱
KI-7-4T	۶۸۸	۱۵۱۳۴	۷/۸	۲۰/۳۸۸۶	۳/۳	۰/۱۷۶۱	۳/۶	۰/۰۲۶۰	۱/۳	۱۶۵/۷	۲/۱
KI-7-5T	۱۰۶۰	۱۱۴۲۸	۳/۴	۲۰/۹۷۸۴	۱/۹	۰/۱۵۵۸	۳/۲	۰/۰۲۳۷	۲/۵	۱۵۱	۳/۸
KI-7-6T	۳۹۴	۸۱۶۱	۴/۸	۲۱/۴۱۳۴	۶/۳	۰/۱۶۲۵	۶/۵	۰/۰۲۵۲	۱/۶	۱۶۰/۶	۲/۵
KI-7-7T	۳۲۱	۸۷۰.۶	۴/۶	۲۰/۵۷۱۴	۷/۱	۰/۱۸۱۶	۷/۵	۰/۰۲۷۱	۲/۳	۱۷۲/۴	۳/۹
KI-7-8T	۳۷۸	۸۳۶۱	۴/۸	۲۰/۳۵۸۷	۹/۳	۰/۱۷۳۹	۹/۳	۰/۰۲۵۷	۰/۹	۱۶۳/۵	۱/۵
KI-7-9T	۴۲۰	۸۸۹۰	۴/۶	۲۱/۲۳۳۵	۷	۰/۱۶۲۵	۸/۹	۰/۰۲۵۰	۵/۵	۱۵۹/۳	۸/۷
KI-7-10T	۵۹۳	۱۴۵۶۹	۸/۸	۱۹/۵۲۰۸	۳/۱	۰/۱۹۶۶	۳/۶	۰/۰۲۷۸	۱/۷	۱۷۷	۳
KI-7-11T	۳۵۹	۸۳۳۱	۴/۴	۲۰/۵۸۶۸	۱۱/۱	۰/۱۷۹۹	۱۱/۱	۰/۰۲۶۹	۰/۷	۱۷۰/۹	۱/۲
KI-7-12C	۴۶۵	۱۴۶۱۵	۳/۶	۲۰/۹۷۱۳	۴/۸	۰/۱۶۶۸	۵/۲	۰/۰۲۵۴	۱/۹	۱۶۱/۵	۳
KI-7-13T	۴۱۰	۱۰۹۶۹	۶	۱۹/۸۵۹۰	۵/۳	۰/۱۷۷۷	۵/۷	۰/۰۲۵۶	۲/۲	۱۶۳	۳/۵
KI-7-14T	۴۹۲	۶۴۹۱	۵/۸	۲۰/۴۳۱۰	۴	۰/۱۶۸۵	۴/۳	۰/۰۲۵۰	۱/۷	۱۵۹	۲/۶
KI-7-15T	۵۰۳	۹۸۰.۵	۴/۶	۲۱/۶۶۴۱	۵/۵	۰/۱۶۲۵	۵/۶	۰/۰۲۵۵	۱/۲	۱۶۲/۵	۱/۹
KI-7-16T	۵۹۰	۱۹۶۶۳	۷	۱۹/۹۴۷۱	۴/۲	۰/۱۷۵۱	۴/۳	۰/۰۲۵۳	۱/۲	۱۶۱/۳	۱/۹
KI-7-17T	۴۷۳	۱۰۸۴۱	۷/۵	۲۰/۳۷۰۱	۵/۳	۰/۱۷۲۴	۵/۸	۰/۰۲۵۵	۲/۳	۱۶۲/۲	۳/۷
KI-7-18T	۴۳۲	۱۰۰۱۷	۴/۸	۲۱/۸۰۳۴	۷/۹	۰/۱۵۹۸	۸/۲	۰/۰۲۵۳	۲/۳	۱۶۰/۹	۳/۷
KI-7-19T	۳۹۰	۵۱۹۶	۶/۱	۱۹/۰۱۰۴	۸/۹	۰/۱۸۳۱	۹	۰/۰۲۵۲	۰/۷	۱۶۰/۷	۱/۱
KI-7-20T	۴۴۲	۱۳۲۱۵	۱/۹	۲۱/۷۷۸۲	۸/۵	۰/۱۶۳۲	۸/۶	۰/۰۲۵۸	۱/۳	۱۶۴/۱	۲/۱
KI-7-21T	۳۴۶	۱۴۶۵	۴/۹	۱۷/۳۹۲۶	۲۱/۱	۰/۲۰۸۹	۲۱/۲	۰/۰۲۶۳	۱/۶	۱۶۷/۷	۲/۶
KI-7-22C	۷۰۳	۷۹۲۷	۲/۵	۲۰/۱۶۳۱	۲/۵	۰/۱۶۸۰	۲/۹	۰/۰۲۴۶	۱/۸	۱۵۶/۵	۲/۵
KI-7-23T	۴۶۶	۱۴۴۵۹	۳/۷	۲۱/۱۹۳۵	۳/۸	۰/۱۸۳۰	۴/۵	۰/۰۲۸۱	۲/۳	۱۷۸/۸	۴/۱
KI-7-24T	۳۶۲	۹۲۲۵	۳/۳	۲۱/۹۶۹۵	۶/۷	۰/۱۶۱۴	۷	۰/۰۲۵۷	۱/۹	۱۶۳/۷	۳/۱



شکل ۱۱. پلات میانگین سن تعیین شده از اطلاعات ایزوتوبی.

۱۶۲ میلیون سال زیرکن) به ترتیب برابر با  $\epsilon_{\text{Nd}} = 0.9131 \pm 0.0512095$  می باشد (جدول ۴ و ۵). میزان ایزوتوب اولیه I در نمونه مورد نظر برابر با  $\epsilon_{\text{Nd}} = 0.51$  است (جدول ۵).

**ایزوتوبهای Sm-Nd و Rb-Sr**  
اطلاعات ایزوتوبهای Sr و Nd به ترتیب در جداول شماره (۵) و (۶) آمده است. نسبت ایزوتوب اولیه  $^{87}\text{Sr}/^{86}\text{Sr}$  و  $^{143}\text{Nd}/^{144}\text{Nd}$  برای توده گرانودیوریتی نجمآباد (با توجه به سن

جدول ۵. داده های ایزوتوبی مربوط به ایزوتوبهای Rb-Sr

SAMPLE	AGE (ma)	Rb (ppm)	Sr (ppm)	$^{87}\text{Rb}/^{86}\text{Sr}$	$(^{87}\text{Sr}/^{86}\text{Sr})_m (2\sigma)$	$(^{87}\text{Sr}/^{86}\text{Sr})_{\text{initial}}$
KI-7	161/85	117	154	2/1956	(1) 0/71420	-0/70913

m= measured. Errors are reported as  $1\sigma$  (95% confidence limit).

The initial ratio of  $^{87}\text{Sr}/^{86}\text{Sr}$  calculated using  $^{87}\text{Rb}/^{86}\text{Sr}$  and  $(^{87}\text{Sr}/^{86}\text{Sr})_m$  and an age 161.85 (age based on zircon).

جدول ۶. داده های ایزوتوبی مربوط به ایزوتوبهای Sm-Nd

SAMPLE	Sm (ppm)	Nd (ppm)	$^{147}\text{Sm}/^{144}\text{Nd}$	$(^{143}\text{Nd}/^{144}\text{Nd})_m (2\sigma)$	$(^{143}\text{Nd}/^{144}\text{Nd})_{\text{initial}}$	$\epsilon_{\text{Nd I}}$
KI-7	3/8	14/2	0/1614	(1) 0/512267	-0/512095	-6/51

m= measured. Errors are reported as  $1\sigma$  (95% confidence limit).

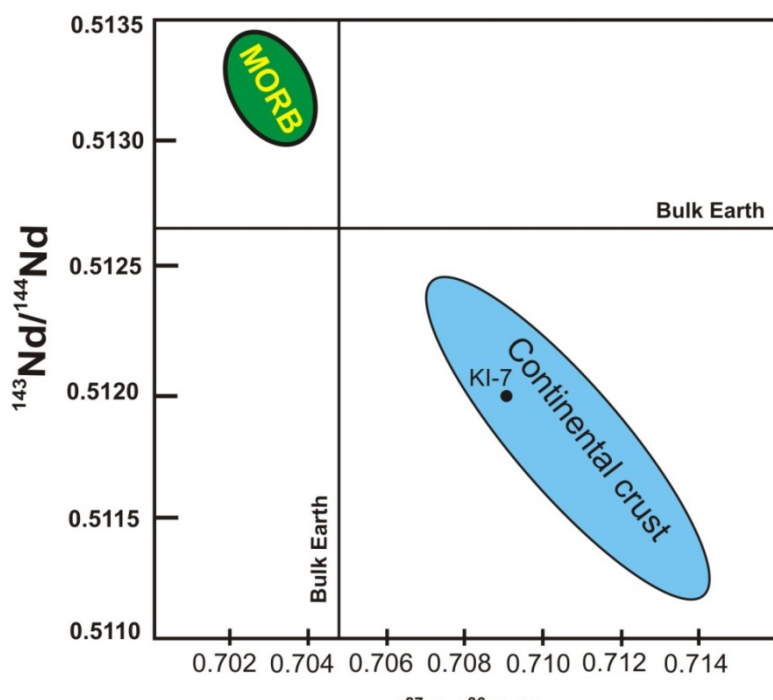
The initial ratio of  $^{143}\text{Nd}/^{144}\text{Nd}$  calculated using  $^{147}\text{Sm}/^{144}\text{Nd}$  and  $(^{143}\text{Nd}/^{144}\text{Nd})_m$  and an age of 161.85 (age based on zircon).  $\epsilon_{\text{NdI}}$ , initial  $\epsilon_{\text{Nd}}$  value.

۱۳) پلات شده‌اند. مقادیر ایزوتوب اولیه  $\epsilon_{\text{Nd}}$  برای گرانیت و برای MORB میان ۷ و ۱۳+ می باشد. مقدار نسبت ایزوتوب  $^{87}\text{Sr}/^{86}\text{Sr}$  اولیه برای گرانیت  $\epsilon_{\text{Nd}} = 0.9131 \pm 0.051$  و برای MORB کمتر از ۰/۷۰۴ است. میزان نسبت ایزوتوب

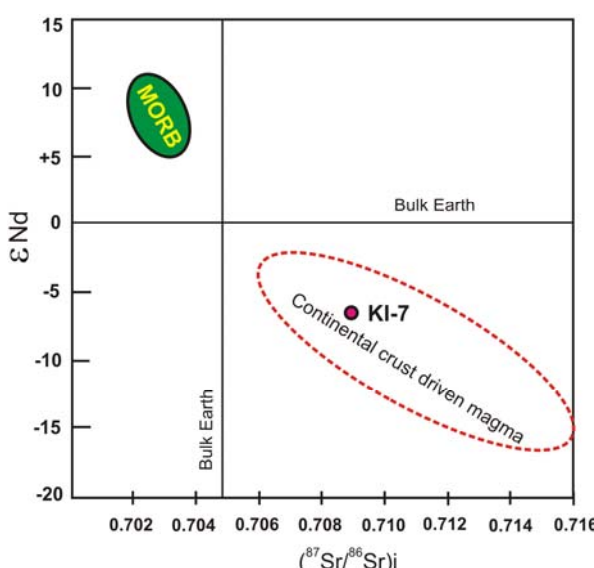
منشأ مagma  
نسبت ایزوتوب  $^{87}\text{Sr}/^{86}\text{Sr}$  اولیه،  $\epsilon_{\text{Nd}}$  و نسبت ایزوتوب  $^{143}\text{Nd}/^{144}\text{Nd}$  مربوط به بازالت پشتہ میان اقیانوسی و گرانیت‌های منطقه نجمآباد در شکلهای (۱۲) و (MORB)

اولیه را محاسبه نمود. سن سنگ منشأ که ماقمای با تولیت نجم‌آباد از ذوب آن حاصل شده است براساس داده‌های ایزوتوپ‌های Sm-Nd محاسبه شد و سن ۲/۲۷ میلیارد (Ga/۲/۲۷) به دست آمد، لذا پی سنگ بلوک لوت در این منطقه ۲/۲۷ میلیارد سال قدمت دارد.

اولیه برای گرانیت منطقه برابر با  $0/512095$  و  $^{143}\text{Nd}/^{144}\text{Nd}$  برای MORB بین  $0/5130$  و  $0/5135$  می‌باشد. مقادیر ایزوتوپی اندازه‌گیری شده از توده گرانیتی نجم‌آباد نشان می‌دهد که ماقمای تشکیل دهنده این گرانیت و گرانوڈیوریت از پوسته قاره‌ای منشأ گرفته است [۲۰ - ۲۱]. براساس داده‌های ایزوتوپ‌های Nd و  $^{143}\text{Nd}/^{144}\text{Nd}$  می‌توان سن سنگ منشأ



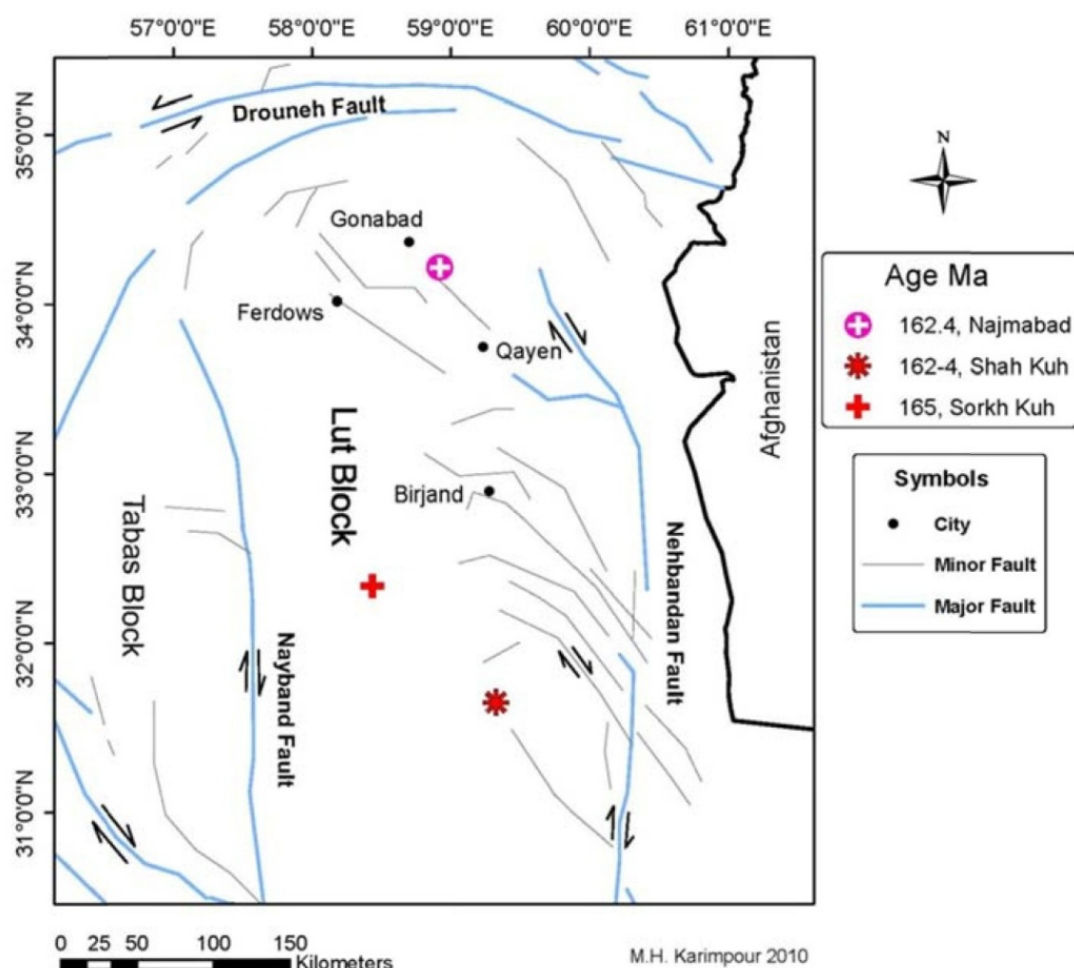
شکل ۱۲. موقعیت قرارگیری توده گرانیتی بر مبنای نسبت  $^{87}\text{Sr}/^{86}\text{Sr}$  به  $^{143}\text{Nd}/^{144}\text{Nd}$ .



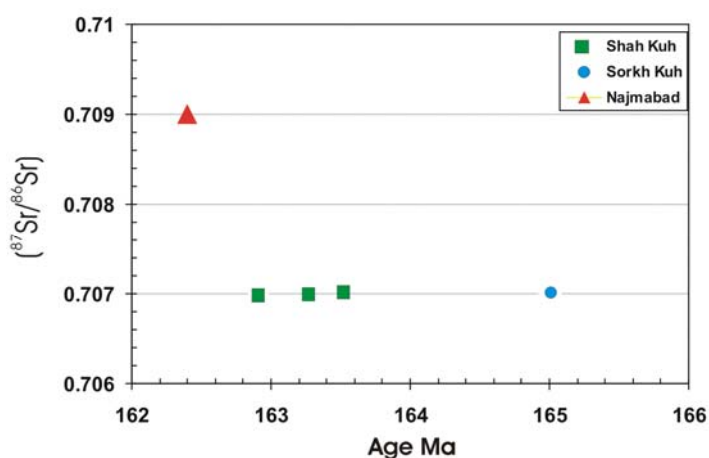
شکل ۱۳. موقعیت قرارگیری توده گرانیتی بر مبنای نسبت  $^{87}\text{Sr}/^{86}\text{Sr}$  به  $\epsilon_{\text{Nd}}$ .

نموده است [۲۳]. باتولیت نجم‌آباد با سن ۱۶۱/۸۵ میلیون سال (ژوراسیک میانی، کالووین) در شیل ماسه‌سنگهای تریاسی‌فوقانی-کرتاسه تحتانی، که خود تحت تأثیر دگرگونی ناحیه‌ای واقع شده‌اند، نفوذ نموده است. آنچه از این مجموعه می‌توان نتیجه گرفت در محدوده زمانی ژوراسیک میانی به دلیل تصادم و در نتیجه کوه‌زایی موجب دگرگونی ناحیه‌ای در سنگهای تریاسی‌فوقانی-کرتاسه تحتانی در این مناطق گردیده است. در ضمن تصادم از ذوب پوسته قاره‌ای در ژوراسیک میانی توده‌های نجم‌آباد، شاه‌کوه و سرخ‌کوه تشکیل و نفوذ نموده‌اند. در شکل (۱۶) رخدادهای تصادم قاره‌ای، کوه‌زایی و تشکیل گرانودیوریت باتولیت نجم‌آباد ترسیم شده است.

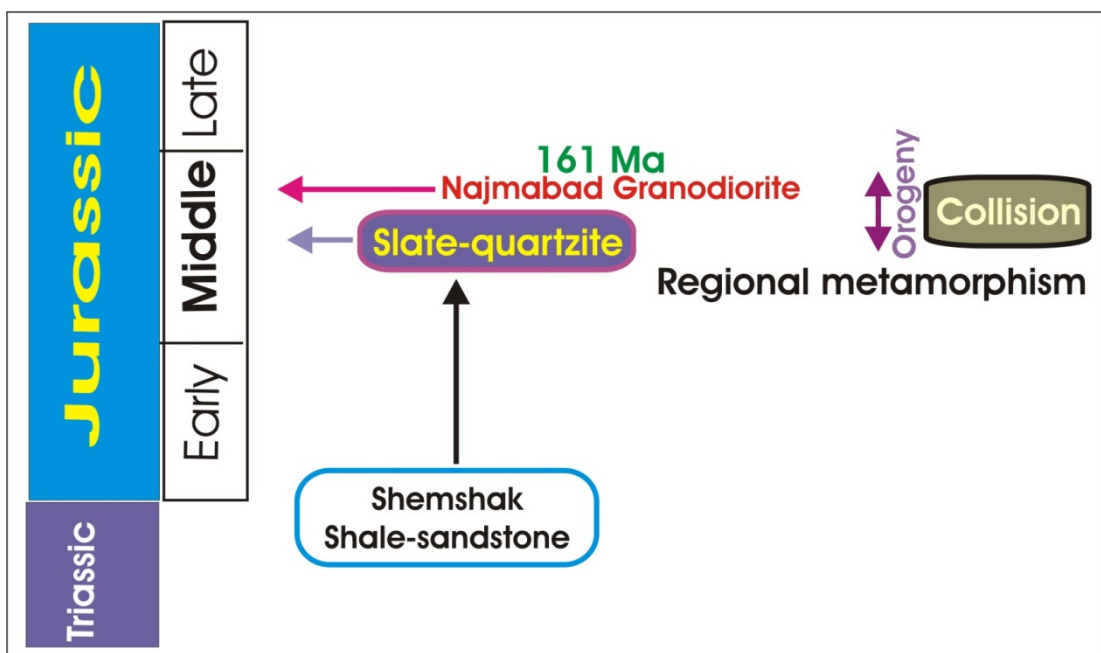
در بلوک لوت در سه منطقه شامل نجم‌آباد، شاه‌کوه و سرخ‌کوه تاکنون توده‌های نفوذی با سن ژوراسیک میانی (۱۶۱ تا ۱۶۵ میلیون سال) شناسایی شده‌اند (شکل ۱۴). باتولیت شاه‌کوه واقع در خراسان جنوبی بزرگترین توده نفوذی در بلوک لوت است. این باتولیت (گرانیت-گرانودیوریت) در سنگ‌های با سن تریاسی‌فوقانی-ژوراسیک تحتانی که خود در معرض دگرگونی ناحیه‌ای قرار گرفته‌اند نفوذ نموده است. سن این باتولیت ۱۶۲ تا ۱۶۵ میلیون سال گزارش شده است [۲۲، ۲۳]. نسبت ایزوتوپ اولیه  $^{87}\text{Sr}/^{86}\text{Sr}$  برابر با ۰/۷۰۷ است (شکل ۱۵). توده‌های گرانیتی سرخ‌کوه واقع در خراسان جنوبی با سن ۱۶۵ میلیون سال و با نسبت ایزوتوپ اولیه  $^{87}\text{Sr}/^{86}\text{Sr}$  برابر با ۰/۷۰۷ در سنگ‌های با رخساره دگرگونی ناحیه‌ای نفوذ برابر با ۰/۷۰۷ در سنگ‌های با رخساره دگرگونی ناحیه‌ای نفوذ



شکل ۱۴. موقعیت توده‌های نفوذی با سن ژوراسیک میانی در بلوک لوت.



شکل ۱۵. نمایش سن و ایزوتوپ‌های Rb-Sr در توده‌های ژوراسیک میانی در بلوک لوت.



شکل ۱۶. نمایش رخداد تصادم قاره‌ای، کوهزایی و تشکیل گرانیت نجم آباد در ژوراسیک.

براساس روش U-Pb در کانی زیرکن ۱۶۱/۸۵ میلیون سال (ژوراسیک میانی کاللووین) تعیین شد. براساس مقادیر ایزوتوپ اولیه  $\epsilon_{\text{Nd}} = -6/51$ ، نسبت ایزوتوپ  $^{87}\text{Sr}/^{86}\text{Sr}$  اولیه ۷۰۹۱۳۱ و نسبت ایزوتوپ  $^{143}\text{Nd}/^{144}\text{Nd}$  اولیه به میزان ۹۵/۱۲۰۹۰ ماگمای گرانیت - گرانودیوریت نجم آباد از پوسته قاره‌ای منشأ گرفته است. در محدوده زمانی ژوراسیک میانی (قبل از کاللووین) به دلیل تصادم و در نتیجه کوهزایی سنگ‌های تریاس فوکانی - کرتاسه تحتانی در مناطق نجم آباد، شاهکوه و سرخکوه تحت تأثیر دگرگونی ناحیه‌ای واقع شده‌اند (ژوراسیک میانی). در ضمن تصادم از ذوب پوسته قاره‌ای در

برداشت باтолیت گرانیت - گرانودیوریت نجم آباد به لحاظ شاخص آلومینیوم، از نوع متاآلومینوس است. نمودار عنکبوتی نرم‌الزیه شده نسبت به بخش تحتانی پوسته قاره‌ای غنی‌شدگی عناصر لیتوفیل با شعاع یونی بزرگ (LILE) مانند Rb، Cs، K و عناصر خاکی کمیاب سبک (Ce و La) (LREE) و کاهیدگی عناصر Ba, Nb, Ta, Sr, Ti به خوبی دیده می‌شود. بر پایه پذیرفتاری معناتیسی پایین ( $10^5 \times 10^{-5}$  SI units)، از سری ایلمنیت محاسبه می‌شود. آلتراسیون پروپلیتیک و آرژیلیک در توده باтолیتی مورد نظر شناسایی شد. سن باтолیت

*studies"* Proceedings of the Eleventh thematic conference on geologic remote sensing; practical solutions for real world problems 11 (1996) I.77-I.86.

[12] Rowan L. C., Mars J. C., "Lithologic mapping in the Mountain Pass, California, area using Advanced Spaceborne Thermal Emission and Reflection Radiometer (ASTER) data" Remote Sensing of Environment, v. 84, no. (3), p. 350–366, 2003. DOI: 10.1016/S0034-4257 (02) 00127-X.

[13] Hubbard B. E., Rowan L. C., Dusel-Bacon C., Eppinger R. G., "Geologic Mapping and Mineral Resource Assessment of the Healy and Talkeetna Mountains Quadrangles, Alaska Using Minimal Cloud- and Snow-Cover ASTER Data.USGS Open-File Report", 2007–1046.

[14] Middlemost E. A. K., "Magmas and Magmatic Rocks" London: Longman, Naming materials in the magma/igneous rock system, Earth-Sciences Reviews 37 (1985) 215–224.

[15] Shand S. J., "Eruptive Rocks; Their Genesis, Composition, Classification, and their Relation to Ore Deposits", with a chapter on Meteorites (revised second edition): Hafner Publishing Co., New York (1943) 444 p.

[16] Taylor S. R., McLennan S. M., "The Continental Crust; Its composition and evolution; an examination of the geochemical record preserved in sedimentary rocks", Blackwell, Oxford (1985) 312.

[17] Sun S., McDonough W. F., "Chemical and Isotopic Systematics of oceanic basalts: implications for Mantle Composition and Processes", Spec. Publ. Vol. Geol. Soc. Lond. No 42 (1989) 313-345.

[18] Burnham C. W., Ohmoto H., "Late- stage processes of felsic magmatism, in Ishihara", S. and Takenouchi, S. Ceds., Granitic magmatism and related mineralization: Mining Geology, Spec. Issue No 8 (1980) 1-11.

[19] Ishihara S., "The magnetite-series and ilmenite-series granitic Rocks", Mining Geology 27 (1977) 293-305.

[20] Garrido C. J., Bodinier J. L., Burg J. P., Zeilinger G., Hussain S., Dawood H., Chaudhry M. N., Gerville F., "Petrogenesis of mafic garnetgranulite in the lower crust of the KohistanPaleoarcComplex (Northern Pakistan); Implications for intra-crustal differentiation of island arcs and generation of continental crust", Journal of Petrology 47 (2009) 1873–1914.

ژوراسیک میانی (۱۶۲-۱۶۴ میلیون سال قبل) ماغماهای با تولیت‌های نجم‌آباد، شاهکوه و سرخکوه تشکیل و نفوذ نموده‌اند.

#### منابع

- [1] Esmaeily D., "Petrology and geochronology of Shah- Kuh granite with special references to tin mineralization", unpublished Ph.D thesis, TarbiatModares University (2001) 296 p.
- [2] Camp V., Griffis R., "Character, genesis and tectonic setting of igneous rocks in the Sistan suture zone, eastern Iran", Lithous, ISSN 0024-4937 v 15 (1982) 221-239.
- [3] Tirrul R., Bell I. R., Griffis R. J., Camp V. E., "The Sistan suture zone of eastern iran", Geolc. Soc. Am. Bull 94 (1983) 134-156.
- [4] Jung D., Keller J., Khorasani R., Marcks C., Baumann A., Horn P., "Petrology of the Tertiary magmatic activity the northern Lut area, East of Iran", Ministry of mines and metals, GSI, geodynamic project (geotraverse) in Iran No 51 (1983) 285-336.
- [5] Tarkian M., Lotfi M., Baumann A., "Tectonic, magmatism and the formation of mineral deposits in the central Lut, east Iran", Ministry of mines and metals, GSI, geodynamic project (geotraverse) in Iran No 51 (1983) 357-383.
- [6] آقانباتی ع., "زمین‌شناسی ایران", سازمان زمین‌شناسی و اکتشافات معدنی کشور، (۱۳۸۳) ۶۰۶ ص.
- [7] قائمی ف., " نقشه زمین‌شناسی ۱:۱۰۰۰۰۰ گناباد", سازمان زمین‌شناسی کشور، (۱۳۸۴).
- [8] داود زاده اشميit., "گزارش زمین‌شناسی شرق ایران بلوک لوت", (۱۹۸۳).
- [9] Berberian M., Jackson J. A., Qorashi M., Khatib M. M., Priestley K., Talebian M., Ghafuri-Ashtiani M., "The 1997 may 10 Zirkuh (Qaenat) earthquake (Mw 7.2): faulting along the Sistan suture zone of eastern Iran", Geophys. J. Int (1999) 671-694.
- [10] Rowan L. C., Hook S. J., Abrams M. J., Mars J. C., "Mapping hydrothermally altered rocks at Cuprite, Nevada, using the Advanced Spaceborne Thermal Emission and Reflection Radiometer (ASTER), A new satellite imaging system", Economic Geology 98 no 5 p 1019-1027 (2003) DOI: 10.2113/98.5.1019.
- [11] Yamaguchi Y., Rowan L. C., Tsu H., Kahle A. B., "Application of ASTER data to geological

*Shah-Kuh granite (eastern Iran), with reference to tin mineralization", Journal of Asian Earth Sciences 25 (2005) 961-980.*

[23] Jung D., Keller J., Khorasani R., Marcks Chr., Baumann A., Horn P., "Petrology of the Tertiary magmatic activity the northern Lut area, East of Iran" Ministry of mines and metals, GSI, geodynamic project (geotraverse) in Iran No 51 (1983) 285-336.

[21] Campbell I. H., Ballard J. R., "U-Pb Zircon Geochronology of Granitic Rocks from the Chuquicamata-El Abra Porphyry Copper Belt of Northern Chile: Excimer Laser Ablation ICP-MS Analysis", Economic Geology, Bulletin of the society of economic geologists 101 NO 7 (2006) 1327-1344.

[22] Esmaeily D., Nedelec A., Valizadeh M. V., Moore F., Cotton J., "Petrology of the Jurassic

